УДК 539.3

Новоселов О.Г., старший преподаватель, Набережночелнинский институт ФГАОУ ВО «Казанский (Приволжский) федеральный университет».

Сибгатуллин К.Э., кандидат технических наук, доцент, Набережночелнинский институт $\Phi \Gamma AOV\ BO\ «Казанский (Приволжский) федеральный университет».$

Сибгатуллин Э.С., доктор физико-математических наук, профессор, Набережночелнинский институт ФГАОУ ВО «Казанский (Приволжский) федеральный университет».

ОПРЕДЕЛЕНИЕ ПРЕДЕЛЬНОЙ НЕСУЩЕЙ СПОСОБНОСТИ КОНТРФОРСА ПО ПРОЧНОСТИ

Аннотация: Рассмотрен контрфорс с размерами 1.0x1.0x3.0 м., находящийся в объемном напряженно-деформированном состоянии (НДС). Материалом контрфорса является бетон класса B25 с нормативным сопротивлением на сжатие Rcж=14.5 МПа и нормативным сопротивлением на растяжение Rpacm=1.05 МПа. Целью работы является сравнение результатов решения задачи по предлагаемый в работе методике и с использованием программного продукта ПК Лира 10.11.

Ключевые слова: бетон, контрфорс, не упругость, объемное напряженнодеформируемое состояние, упругость

Предельная поверхность для бетона в пространстве напряжений описывается уравнением

$$\Phi \equiv a(\sigma_{11}^2 + \sigma_{22}^2 + \sigma_{33}^2) + 2c(\sigma_{11} + \sigma_{22} + \sigma_{33}) + d(\sigma_{12}^2 + \sigma_{23}^2 + \sigma_{31}^2) = 1.$$
 (1)
Здесь

$$a = \frac{1}{R_{\text{Cxx}}R_{\text{pact}}}, \qquad 2c = \frac{R_{\text{Cxx}}-R_{\text{pact}}}{R_{\text{Cxx}}R_{\text{pact}}}, \qquad d = \frac{1}{4R_{\text{pact}}^2}.$$
 (2)

С использованием ассоциированного закона текучести и соответствующих кинематических гипотез переходим в пространство внутренних сил и моментов. Получаем систему из 15 параметрических уравнений, описывающих предельную поверхность в этом пространстве [1]:

$$T_{11} = \frac{1}{2\Delta} [I_{11}\delta_{11}\dot{e}_1 + I_{31}\delta_{11}\dot{e}_{21} - I_{41}\delta_{11}\dot{e}_{31} - 2\Delta_1 A];...;$$
(3)

$$M_{33} = \frac{1}{2\Delta} [I_{23}\delta_{55}\dot{e}_5 - I_{33}\delta_{66}\dot{e}_6 + 0.5I_{66}\delta_{55}(\dot{e}_{33} - \dot{e}_{22}) - 0.5I_{33}\delta_{66}(\dot{e}_{11} - \dot{e}_{33})].$$

Многочисленные опыты показывают, что некоторые тела разрушаются квазихрупко, а именно по определенным тонким поверхностям (обобщенные поверхности разрушения - ОПР), области между которыми не разрушаются и не претерпевают заметных пластических деформаций (абсолютно жесткие конечные элементы - АЖКЭ). При проведении расчетов на прочность с использованием ЭВМ необходимо предварительная дискретизация тел.

Пусть тело нагружено внешними поверхностными p_i и объемными γ_j силами:

$$p_i = \mu p_i^0 + p_i^1, \quad \gamma_j = \mu \gamma_j^0 + \gamma_j^1.$$
 (4)

Здесь p_i^0 , p_i^1 , γ_j^0 , γ_j^1 являются функциями только пространственных координат, μ — монотонно возрастающий параметр. Необходимо определить предельное значение μ_0 параметра внешнего нагружения, когда рассматриваемый массивный элемент теряет свойство геометрической неизменяемости. В рассматриваемом случае, когда разрушение массивного тела происходит по отдельным «бесконечно» тонким ОПР между соседними АЖКЭ, основное энергетическое уравнение [2] можно записать в следующем виде:

На рис. 1 изображены два соседних АЖКЭ $P_1B_1...B_n$ и $P_2B_1...B_n$, контактирующие между собой через ОПР $B_1B_2...B_n$. Согласно теореме Шаля [3], движение каждого из АЖКЭ в трехмерном пространстве можно рассматривать как составленный из поступательного движения вместе с его полюсом и движения около полюса как неподвижного.

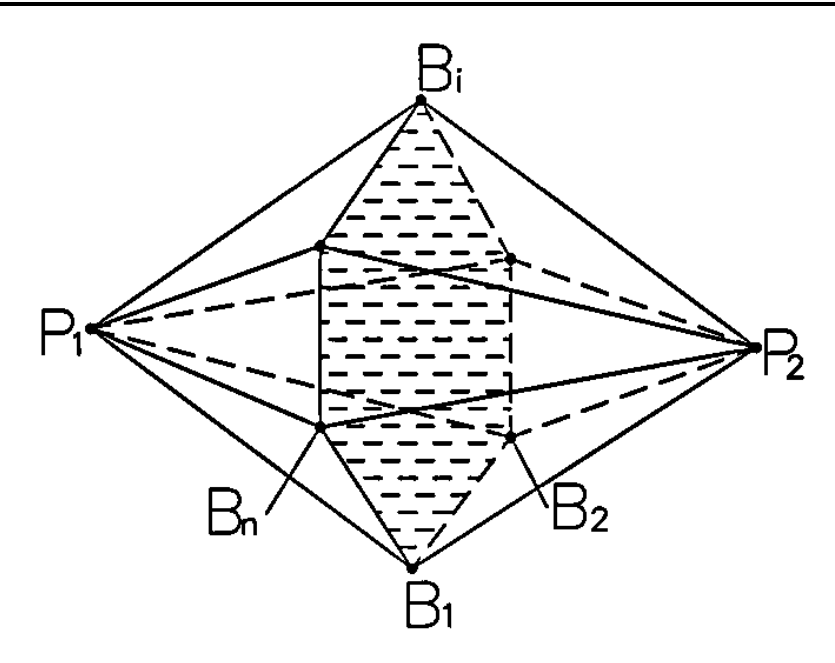


Рис. 1. Соседние АЖКЭ P₁B₁...Вп и P₂B₁...Вп

Скорость диссипации внутренней энергии в произвольной точке B_i ОПР (рис. 1) определяется формулой

$$N(B_i) = \overrightarrow{R}_*(B_i) \cdot \Delta \overrightarrow{v}(P_1 P_2) + \overrightarrow{M}_*(B_i) \cdot \Delta \overrightarrow{\omega}(P_1 P_2). \tag{6}$$

Здесь $\overrightarrow{R_*}$, $\overrightarrow{M_*}$ - главный вектор и главный момент внутренних распределенных сил, отнесенных к единице площади; они являются функциями координат рассматриваемой точки B_i ;

$$\overrightarrow{\Delta v}(P_1 P_2) = \overrightarrow{v}(P_2) + \overrightarrow{\omega}(P_2) \times \overrightarrow{P_2 B_1} - \overrightarrow{v}(P_1) - \overrightarrow{\omega}(P_1) \times \overrightarrow{P_1 B_1};$$

$$\overrightarrow{\Delta \omega}(P_1 P_2) = \overrightarrow{\omega}(P_2) - \overrightarrow{\omega}(P_1);$$
(7)

 $\vec{v}(P_1)$, $\vec{v}(P_2)$ — скорости движения полюсов P_1 и P_2 (рис. 1), соответственно; $\vec{\omega}(P_1)$, $\vec{\omega}(P_2)$ — мгновенные угловые скорости вращения соответствующих АЖКЭ около полюсов P_1 и P_2 , соответственно.

Равенство (6) имеет место, когда обобщение силы и скорости обобщённых перемещений связаны ассоциированным законом деформирования [2]

$$\Delta \vec{\mathbf{v}} = \dot{\lambda} \frac{\partial \Phi}{\partial \vec{\mathbf{R}}_*}, \ \Delta \vec{\omega} = \dot{\lambda} \frac{\partial \Phi}{\partial \vec{\mathbf{M}}_*}. \tag{8}$$

Здесь $\Phi(\vec{R}, \vec{M}) = 0$ — уравнение предельной поверхности в пространстве обобщенных сил.

В соответствии с постулатом Друккера [2] имеем (рис. 1):

$$N(B_i) \ge \vec{R} \cdot \Delta \vec{v}(P_1 P_2) + \vec{M} \cdot \Delta \vec{\omega}(P_1 P_2). \tag{9}$$

Здесь \vec{R} , \vec{M} — любая комбинация обобщённых сил, удовлетворяющая уравнению предельной поверхности $\Phi(\vec{R}, \vec{M}) = 0$. Рассматриваем объемный элемент тела, имеющий единичные размеры, отнесенный к неподвижной системе координат хуz. Внутренние силы, действующие на грани этого элемента, приводятся в центры соответствующих граней. В итоге получаем главный вектор и главный момент этих сил:

$$\vec{R} = \{T_{11}, ..., T_{33}\}^T; \vec{M} = \{M_{11}, ..., M_{33}\}^T.$$
 (10)

Представим задачу в виде задачи линейного программирования (ЛП), которая решается с использованием симплекс-метода. Для этого вместо (6) необходимо использовать систему ограничений вида (9), где различные комбинации \vec{R} и \vec{M} соответствуют вершинам выпуклого предельного многогранника, аппроксимирующего предельную поверхность $\Phi(\vec{R}, \vec{M}) = 0$. Внешние силы, приложенные в пределах отдельных АЖКЭ, можно привести к полюсам соответствующих АЖКЭ. Задача линейного программирования: Найти min μ^+ , где

$$\mu^{+} = \sum_{k=1}^{m} \frac{S_k}{n_k} \sum_{i=1}^{n_k} N_i(B_i) - \sum_{j=1}^{n_2} \left(\overrightarrow{F_j^1} \overrightarrow{v_j} + \overrightarrow{M_j^1} \overrightarrow{\omega_j} \right), \tag{11}$$

при ограничениях

$$\sum_{j=1}^{n_1} (\overrightarrow{F_j^0} \overrightarrow{v_j} + \overrightarrow{M_j^0} \overrightarrow{\omega_j}) = 1, \tag{12}$$

$$\left\{ N_{i}(B_{i}) \geq \left[\overrightarrow{R} \cdot \Delta \overrightarrow{v}(P_{1}P_{2}) + \overrightarrow{M} \cdot \Delta \overrightarrow{\omega}(P_{1}P_{2}) \right] \right\}_{i}. \tag{13}$$

Число ограничений вида (13) равно произведению числа всех точек B_i на число вершин предельного многоугольника. Соотношения (11), (12), (13) переписаны нами в проекциях на оси неподвижной системы координат хух. $N_i \geq 0$ являются несвободными переменными задачи ЛП, $v_j \geq 0$, $\omega_j \geq 0$ свободными переменными. Составлена соответствующая программа для ЭВМ в среде Matlab.

На контрфорс принята следующая комбинация нагрузок (рисунок 2), а именно: горизонтальное давление грунта (P_{γ}) ; равномерно распределенная нагрузка на грунт (q); собственный вес конструкции контрфорса (G_{κ}) . Нагрузка q зависит от параметра μ^+ , а нагрузки P_{γ} и G_{κ} - не зависят.

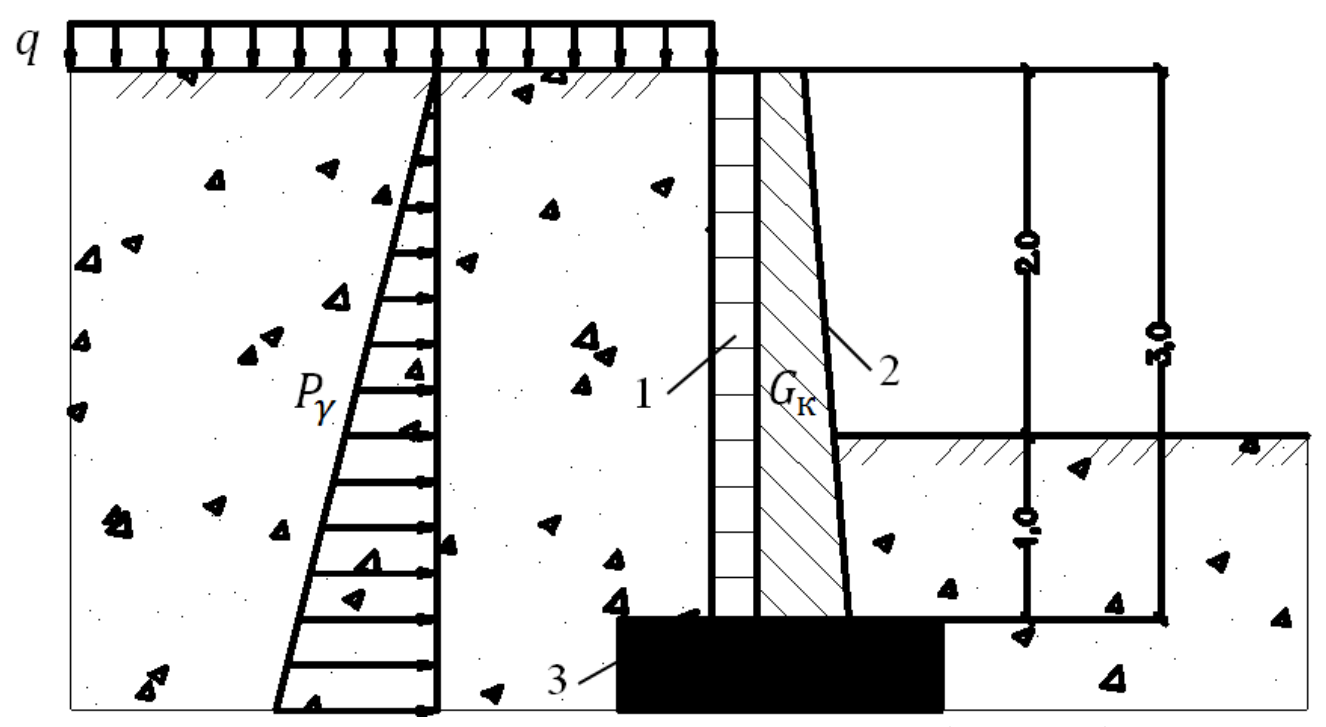


Рис.2. Расчетная схема: 1 — подпорная стенка; 2 — контрфорс; 3 — фундамент.

Ниже приведены некоторые результаты, полученные нами с использованием предлагаемой методики.

На рис. 3 представлены 4 варианта разбиения на АЖКЭ. Каждый контрфорс разбит на АЖКЭ в форме прямоугольных параллелепипедов с разными размерами. Действительный механизм разрушения соответствует минимальному значению параметра µ⁺ из (11). Из 4 вариантов дискретизации, приведенных на рис.3 схеме 3г соответствует наименьшее значение из всех µ⁺. На рис. 4а показана соответствующая схема разрушения контрфорса, на рис. 4б -распределение скоростей диссипации энергии по соответствующей ОПР. Во всех схемах на рис. 3 АЖКЭ №1 считаем неподвижно закрепленным.

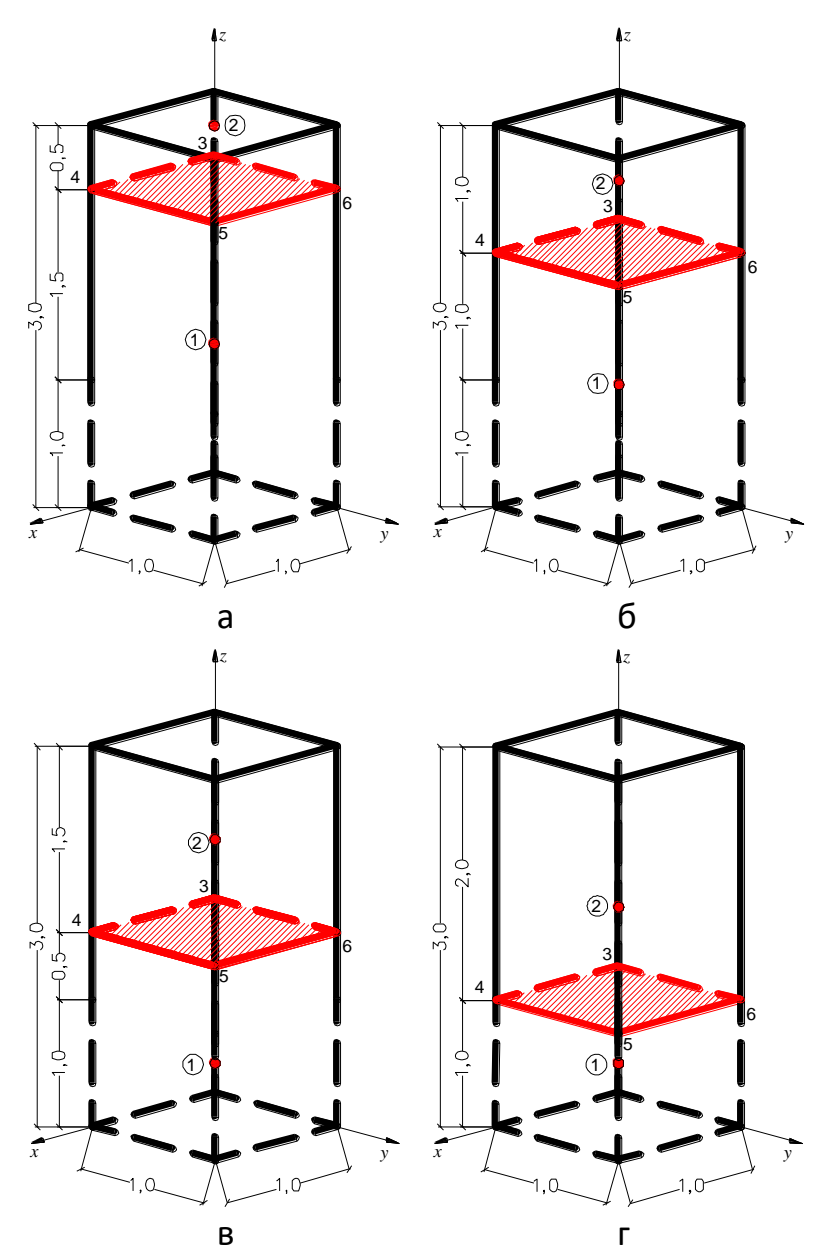


Рис. 3. Варианты разбиения контрфорса на АЖКЭ

Некоторые другие результаты решенных нами задач приведены в таблице 1 и таблице 2.

Таблица 1. Скорость диссипации внутренней энергии

Вариант	Диссипация внутренней энергии в ОПР разрушения								
разбиения	2	1	5	6					
контрфорса	3	4	3						
a	9.5726	9.5726	29.0667	29.0667					
б	1.2764	1.2764	3.8758	3.8758					
В	1.1074	1.1074	3.3624	3.3624					
Γ	0.6592	0.6592	2.0016	2.0016					

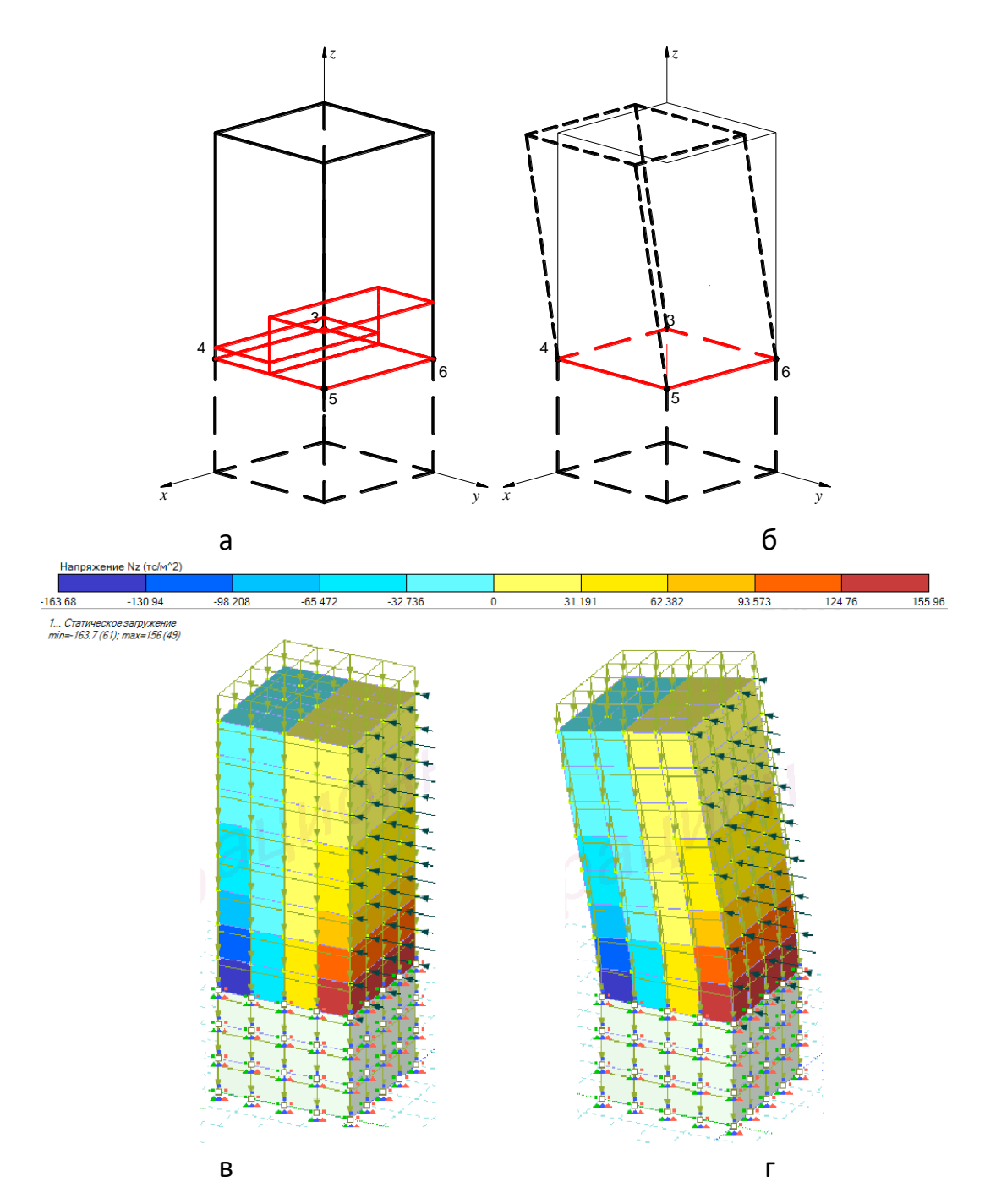


Рис. 4. Результат расчета контрфорса по предлагаемый методике и ПК Лира 10

На рис. 4в и 4г приведено решение аналогичной задачи с использованием ПК Лира 10.11 (для значений $q=20\text{тс/m}^2$, $P_{\gamma}=1.2$ тс/m^2). Здесь полученные напряжения и схема деформирования соответствуют результатам, полученным нами с использованием теории предельного равновесия (более тёмные зоны соответствуют бо́льшим напряжениям). Тёмно-синие зоны — сжаты, красные зоны — растянуты.

Таблица 2. Результаты расчетов контрфорса по теории предельного равновесия

Вариант			Скорости обобщенных перемещений					
разбиения контрфорс а	μ^+	Номер АЖКЭ	V_{x}	ν_y	v_z	ω_{χ}	ω_y	ω_z
a	19.3196	①	0	0	0	0	0	0
		2	0	-4.3015	6.6239	14.5672	0	0
б	2.5761	①	0	0	0	0	0	0
		2	0	-2.0304	0.8832	1.9424	0	0
В	2.2349	①	0	0	0	0	0	0
		2	0	-1.3402	0.7663	1.6851	0	0
Г	1.3304	①	0	0	0	0	0	0
		2	0	-1.0486	0.4561	1.0032	0	0

Таким образом, опасная зона контрфорса определяется одинаково в обоих случаях (при расчете с использованием ПК Лира и по предлагаемой нами методике). Максимальное напряжение, полученное с использованием ПК Лира 10.11. - 163,68 тс/м² (**1.605** МПа), а по теории предельного равновесия 2.0016 МПа. Как известно [2], кинематический метод дает верхнюю оценку предельной нагрузки, а расчет по допускаемым напряжениям - нижнюю.

Список использованных источников

- 1. Сибгатуллин Э.С., Сибгатуллин К.Э., Новоселов О.Г. Предельное состояние объемных конечных элементов при трехосных напряженных состояниях Научно-технический вестник Поволжья, №3, 2015. С.54-58.
- 2. Качанов Л.М. Основы теории пластичности М.: Наука, 1969.—420 с.
- 3. Бухгольц Н.Н. Основной курс теоретической механики М.: Наука, 1972. 468 с.
- 4. Гениев Г.А. Прочность легких и ячеистых бетонов при сложных напряженных состояниях / Г.А. Гениев, В.Н. Киссюк, Н.И. Левин, Г.А. Никонова. М.: Стройиздат, 1978. 166 с.

Novoselov O.G. senior lecturer, Naberezhnye Chelny Institute of Kazan (Volga region) Federal University.

Sibgatullin K. E. candidate of technical Sciences, assistant professor, Naberezhnye Chelny Institute of Kazan (Volga region) Federal University.

Sibgatullin E.S. doctor of physical and mathematical Sciences, Naberezhnye Chelny Institute of Kazan (Volga region) Federal University.

DETERMINATION OF THE LIMIT BEARING CAPACITY OF THE BUTTERFOR BY STRENGTH

Abstract: A buttress with dimensions 1.0x1.0x3.0 m is considered, being in a volumetric stress-strain state (SSS). The material of the buttress is concrete of class B25 with standard compressive strength Rs = 14.5 MPa and standard tensile strength Rst = 1.05 MPa. The aim of the work is to compare the results of solving the problem according to our proposed methodology and using the software product PC Lira 10.11.

Key words: buttress, stress-strain state, PK Lear 10.11, the theory of limiting equilibrium.

УДК 621.43.004

Лущеко В.А., кандидат технических наук, главный специалист, научнотехнический центр ПАО КАМАЗ, e-mail: vasiliy. <u>lushcheko@kamaz.ru</u>

Павленко А.П., кандидат технических наук, доцент, Набережночелнинский институт ФГАОУ ВО «Казанский (Приволжский) федеральный университет», e-mail: <u>pavlenko_aleksey@mail.ru</u>

Румянцев В.В., кандидат технических наук, доцент, Набережночелнинский институт ФГАОУ ВО «Казанский (Приволжский) федеральный университет», e-mail: <u>vvr1954@mail.ru</u>

РЕГУЛИРУЕМЫЙ СОПЛОВОЙ АППАРАТ ТУРБИНЫ ТКР: ПРОЕКТИРОВАНИЕ, CFD – АНАЛИЗ.

Аннотация. Приведены основы и результаты расчета геометрических параметров лопаточного регулируемого соплового аппарата (PCA) и корпуса (улитки) турбины турбокомпрессора. Предложены три варианта профилей лопаток. CFD – анализ турбинной ступени TKP выполнен с применением пакета AVL FIRE. Сравнение лопаточных аппаратов с различными профилями проводилось по значению потерь давления в них.